

地理试题

2023. 2

一、选择题：本题共 16 小题，每小题 3 分，共 48 分。在每小题给出的四个选项中，只有一项是符合题目要求的。

G 市地处华北平原及其南部丘陵的过渡地带，所辖的 H 镇和 M 镇经济活力较强。H 镇早在民国时期就已出现民办工业，20 世纪 60 年代成为全市最早兴起纺织业的乡镇；M 镇起步时以采掘业为主，21 世纪初期率先进行产业转型。根据当前主导产业的不同，G 市各乡镇下辖的乡村可分为城市带动型、传统农业型、特色种植型、采掘业带动型、工业带动型等类型。图 1 示意 G 市不同类型乡村分布。据此完成 1~3 题。

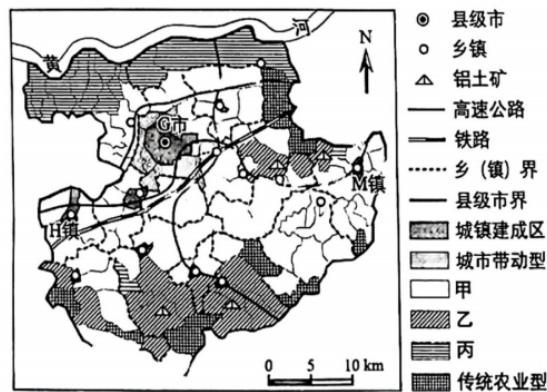


图 1

1. 与 G 市其它乡镇相比，20 世纪 60 年代纺织业兴起首选 H 镇主要看中的人文地理条件是 ()
A. 工资水平 B. 交通运输 C. 原料供应 D. 产业基础
2. 推断 21 世纪初期 M 镇产业转型时选择发展的产业类型主要是 ()
A. 旅游业 B. 装备制造业 C. 农产品加工业 D. 高新技术产业
3. 图 1 中甲乙丙代表的乡村类型依次是 ()
A. 工业带动型、采掘业带动型、特色种植型
B. 采掘业带动型、特色种植型、工业带动型
C. 工业带动型、特色种植型、采掘业带动型
D. 采掘业带动型、工业带动型、特色种植型

图 2 示意 1961 年和 2002 年 S 国的人口结构。1997~2005 年，该国人口自然增长率为负值。据此完成 4~5 题。

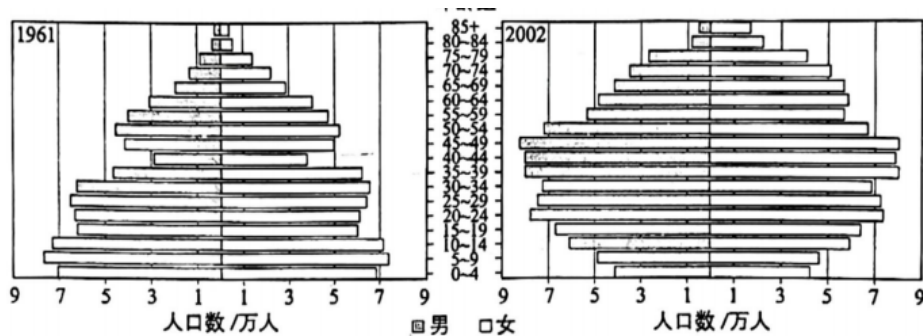


图 2

4. 推断 20 世纪 10 年代上半叶, S 国 ()

A. 生育政策调整 B. 自然灾害频发 C. 主导产业转移 D. 军事战争爆发

5. 与 20 世纪 90 年代初期相比, 2002 年 S 国 ()

A. 人死亡人口剧增 B. 少年移民比重上升
C. 人口总数增加 D. 老年人口数量减少

乌拉盖草原位于内蒙古东部, 年降水量约 340 毫米, 草类丰茂。20 世纪 90 年代, 由于过度放牧, 当地土地退化严重, 部分区域寸草不生。裸露的土地上有许多坑洞出现, 这些坑洞的面积还在不断扩大。为修复生态环境, 当地在坑洞中补播优质草种, 但存活率不高; 经反复尝试, 最终成功提高草种存活率, 使乌拉盖草原重回绿意盎然。据此完成 6~7 题。

6. 乌拉盖草原土地退化后, 地表坑洞的形成与扩大是由于 ()

A. 流水侵蚀 B. 冻土消融 C. 风力侵蚀 D. 地面沉降

7. 为提高草种存活率, 该地最适宜采取的措施是 ()

A. 混种固氮植物 B. 修建防风林带 C. 引水灌溉 D. 翻耕播种

J 古城由都城、离宫和军事卫城构成。战国时期, 都城是古城中心, 离宫的东南角城门可供船只通行。秦汉时期, 离宫成为古城中心。此后, 由于环境变迁, J 古城衰落。19 世纪起, S 市人口集聚, 现已发展为地级市。图 3 示意长江流域局部地区。据此完成 8~10 题。

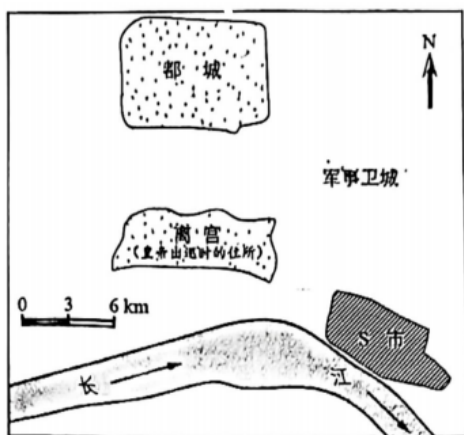


图 3

8. J 古城建设之初, 都城未建在离宫处, 主要是考虑 ()

A. 减少水患 B. 便于取水 C. 方便耕作 D. 利于防卫

9. 古城中心的变迁, 反映了战国至秦汉期间该地区气候趋向 ()

A. 湿润 B. 干旱 C. 温暖 D. 寒冷

10. 根据 J 古城和 S 市的地理位置, 可推知战国时期至现代长江干流图示河段 ()

A. 整体向北移动 B. S 市附近河道没有明显摆动
C. 整体向南移动 D. S 市附近河道摆动幅度较大

距今约 300 万年至今, 世界海陆格局与当前基本一致; 太平洋西侧赤道以北的热带海区降水多于赤道以南。图 4 示意不同地质历史时期赤道附近局部地区的海陆格局。距今约 400 万年~300 万年, 澳洲板块的北移使印尼通道逐渐变窄, 太平洋流向印度洋的海水也由南太平洋最终转变为北太平洋, 对印度洋海水性质产生较大影响, 进而影响并最终形成亚洲、非洲的现代气候。据此完成 11~13 题。

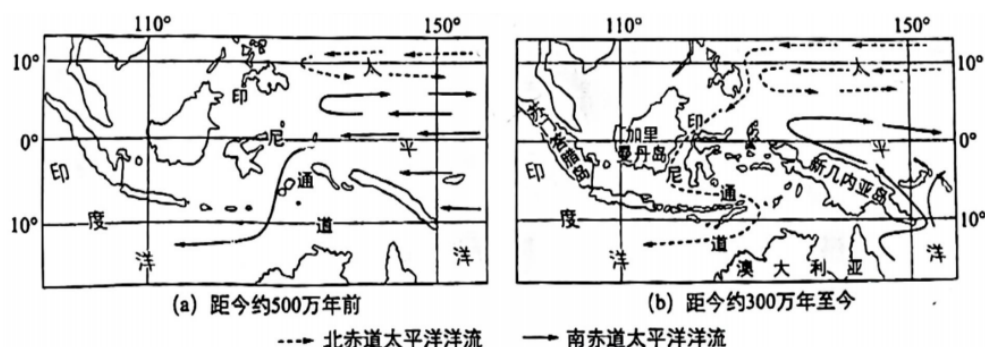


图4

11. 在太平洋西侧的热带海域，与赤道以南海区相比，赤道以北海区表层海水（ ）

- A. 温度较低、盐度较高
- B. 温度较高、盐度较低
- C. 温度、盐度均较高
- D. 温度、盐度均较低

12. 与当前相比，距今约 500 万年前赤道太平洋海区（ ）

- A. 东西水温差异较大
- B. 沃克环流较弱
- C. 向北输送热量较少
- D. 潜热输送较多

13. 若不考虑其他因素，印尼通道变窄将导致非洲东部（ ）

- A. 上升气流减弱，气候变干
- B. 东北信风增强，气候变湿
- C. 海面辐射增强，气候变热
- D. 沿岸洋流减弱，气候变冷

冰碛湖坝是由冰碛物和多年冻土构成的，其结构与冻融变化主要受坝体温度变化的影响。随着气候暖湿化，部分冰碛湖存在溃决风险。L 湖是中国一处典型的冰碛湖，近年来溃决风险提高，且一旦溃决将对下游村落造成巨大损失。图 5 示意 2013 年 1 月 21 日（当年最低日均温出现的日期，该日天气状况稳定）L 湖冰碛湖坝的气温和部分深度地温的日变化。据此完成 14~16 题。

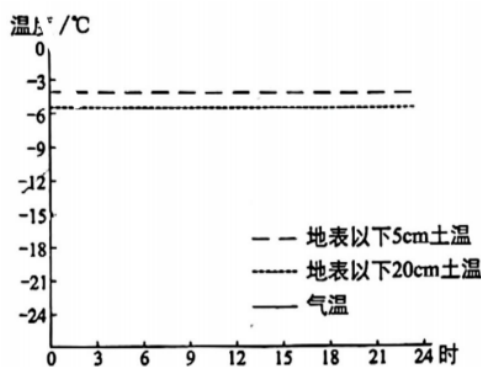


图5

14. 推测影响 2013 年 1 月 21 日 L 湖冰碛湖坝地温日变化的主导因素是（ ）

- A. 风力大小
- B. 积雪厚度
- C. 太阳辐射强度
- D. 土壤冻结深度

15. 为降低 L 湖的溃决风险，最适宜采取的措施是（ ）

- A. 工程加固湖坝
- B. 积雪覆盖湖坝
- C. 修建排水通道
- D. 转移下游村民

16. 该地最可能位于（ ）

- A. 内蒙古东部
- B. 新疆西部
- C. 黑龙江北部
- D. 西藏南部

二、非选择题：共 52 分。全科试题免费下载公众号《高中僧课堂》

17. 阅读图文资料，完成下列要求。(10 分)

新疆某地(43°N)冬季寒冷，降雪较少，大风日数多。最初，该地根据山东“寿光型”日光温室的结构和参数($L=3.6$ 米， $H=4.5$ 米， $T=1$ 米， $D=5$ 米)建造日光温室(图 6)，发展越冬果菜生产，但由于未能充分考虑自然环境特征，建成后的温室保温效果不够理想。为此，某科研团队通过计算冬至日正午太阳高度(α ， $\tan \alpha \approx 0.435$)，指导当地农民调整日光温室间距(D)，还对墙体厚度(T)、草帘和温室朝向等方面进行改造，使温室内气温较改造前有明显提升，午后至夜晚增温效果尤为显著。

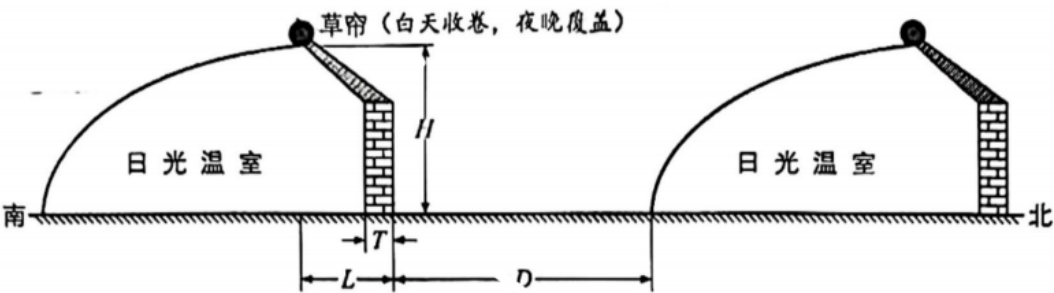


图 6

结合自然环境特征，解释该地为提升保温效果对日光温室的各项改造。(10 分)

18. 阅读图文资料，完成下列要求。(20 分)

江苏省盐城市该地(图 7)近海年平均风速达 7.6 米/秒以上，远海超过 8 米/秒，是中国风电建设的主战场之一。21 世纪初，该地在城区内的甲处等地建设分散式风电站；2021 年，在海上建成多个风电站，所产电能接入中国最大的华东电网。目前大丰区积极推进远海(距海岸 0 千米以上)风电项目，建设国家级海上新能源产业基地。

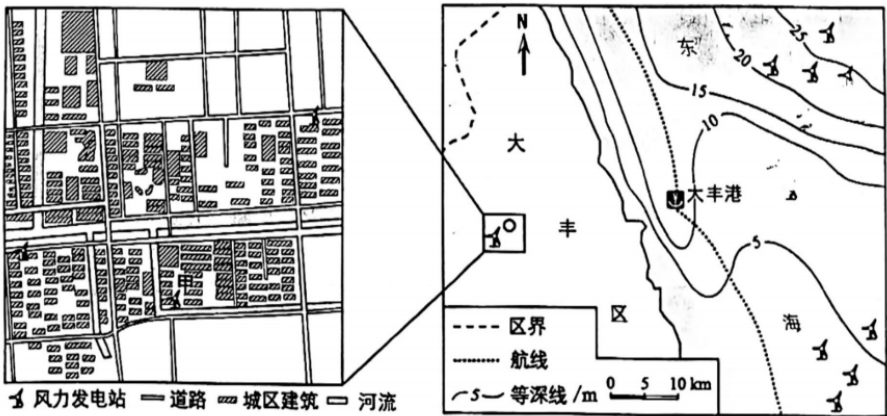


图 7

- (1) 分析与西北地区相比，中国东部沿海地区发展风力发电的优势条件。(6 分)
- (2) 说明 21 世纪初大丰区建设风电站时选在城区并分散布局的原因。(6 分)
- (3) 解释 2021 年大丰区海上风电站未沿海岸线布局的现象。(4 分)
- (4) 简述大丰区推进远海风电项目对保障中国能源安全的意义。(4 分)

19. 阅读图文资料，完成下列要求。(22 分)

构造运动对区域水系的演化具有重要影响。距今约 1 万年，由于龙首山的迅速隆升，黑河（图 8）古河道废弃，转而向西流入酒东盆地。科研人员通过野外科考，采集地层样品，利用测年技术获取了确定黑河转向发生时间的直接证据。经过此次科考，科研人员还提出黑河未来可能会与大通河自然联通的猜想。

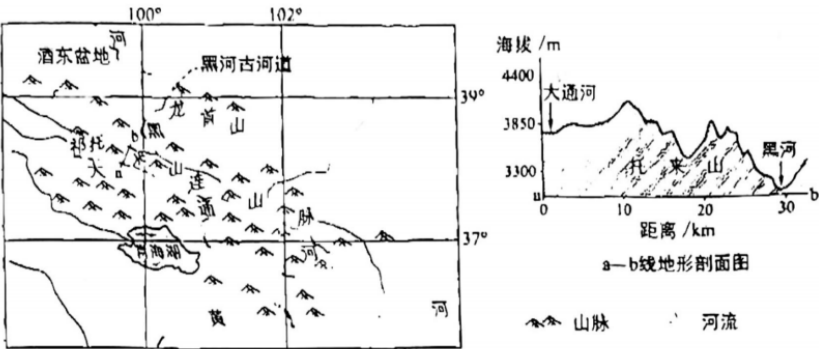


图 8

- (1) 解释距今 1 万年以来黑河图示河段转向西流的现象。(4 分)
- (2) 列举为确定黑河转向发生的时间所需获取的直接证据，并简述据此确定黑河转向时间的依据。(8 分)
- (3) 根据分水岭两侧的地形差异，判断黑河与大通河贯通后流程变长的河流，并说明判断理由。(6 分)
- (4) 有人提出，为避免黑河与大通河贯通后对生态环境的改变，应修建工程防止两河贯通。对此，地理学家提出反对意见，并提供了包括“地处生态脆弱区，工程建设难度大、成本高”在内的诸多理由。列举 2 项反对修建上述工程的其他理由。(4 分)